

Adaptation de micro-architectures hétérogènes via l'utilisation de gem5 et CERE

Nicolas Derumigny Pablo de Oliveira Castro

ENS Lyon

UVSQ

5 Septembre 2016

- Utilisation de morceaux de codes via CERE[2]
- Simulation de différents CPU via gem5[1]
- Simulation de la consommation énergétique via McPAT[3]
- Calcul du ratio performance-consommation énergétique

Codelet Extractor and REplayer : Définitions

CERE extrait des morceaux de code d'une application, créant ainsi une autre application autonome, reproduisant au plus près possible son exécution, autant dans ses instructions que dans son contexte.

Codelet

- Portion d'un application.
- *In-vivo* : fonctionnement naturel à l'intérieur de son application.
- *In-vitro* : fonctionnement dans l'application produite par CERE.



CERE : Un outil d'isolation de morceaux de code

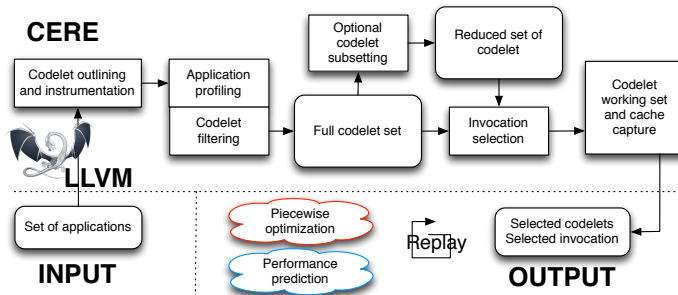


Figure – Schéma fonctionnel de CERE.

Gem5 : Un simulateur précis au cycle près

- Projet open-source, codé en C++
- Utilisation de python pour le choix des configurations
- Support des jeux d'instruction ARM, x86, Alpha, SPARC, POWER et MIPS
- Simulation du fonctionnement du CPU cycle par cycle
- Simulation de systèmes hétérogènes
- Accès aux données non mesurables d'un CPU standard (cache miss)



Gem5 : Le mode *syscall emulation* (SE)

- Émulation d'une application au sein d'un système linux complet virtuel
- Besoin de codage séparé de tous les appels systèmes
- Pas de support des libraires dynamiques
- Systèmes multi-cœurs peu flexible (m5thread)
- Exécution d'une seule application



Gem5 : Le mode *fullsystem* (FS)

- Émulation d'un CPU "nu"
- Exécution d'un système linux complet par le CPU simulé
- Support des libraires dynamiques et des systèmes multi-cœurs via le noyau linux
- Exécution d'une suite quelconque de commandes
- Plus lent que le mode SE
- Nécessite au préalable la préparation d'une image disque



McPAT : Un simulateur de conception et de consommation de puces

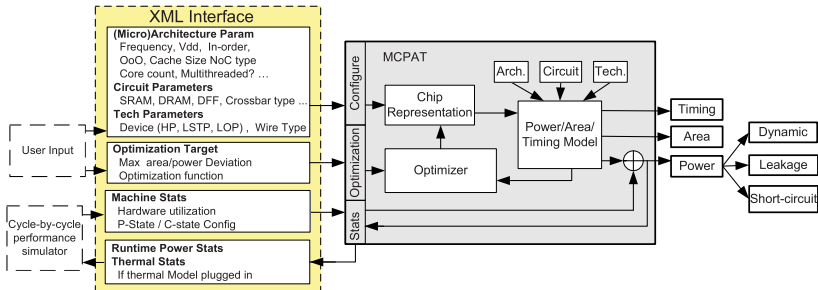


Figure – Schema fonctionnel de McPAT.

Correction de *readFunc()*

```
1 SyscallReturn
2 readFunc( SyscallDesc *desc, int num, LiveProcess *p, ThreadContext *tc)
3 {
4     int index = 0;
5     int tgt_fd = p->getSyscallArg(tc, index);
6     Addr bufPtr = p->getSyscallArg(tc, index);
7     int nbytes = p->getSyscallArg(tc, index);
8     BufferArg bufArg(bufPtr, nbytes);
9
10    int sim_fd = p->getSimFD(tgt_fd);
11    if (sim_fd < 0)
12        return -EBADF;
13
14    int bytes_read = read(sim_fd, bufArg.bufferPtr(), nbytes);
15
16    if (bytes_read > 0)
17        bufArg.copyOut(tc->getMemProxy());
18
19    return bytes_read;
20 }
```



Ajout des appels système *getdents()* et *getdents64()*

```
1 SyscallReturn
2 getdentsFunc( SyscallDesc *desc, int num, LiveProcess *p, ThreadContext *
   tc)
3 {
4     int index = 0;
5     int sim_fd = p->sim_fd(p->getSyscallArg(tc, index));
6     if (sim_fd < 0)
7         return -EBADF;
8     Addr buf_ptr = p->getSyscallArg(tc, index);
9     int nbytes = p->getSyscallArg(tc, index);
10    BufferArg buf_arg(buf_ptr, nbytes);
11
12    int nread = syscall(SYS_getdents, sim_fd, buf_arg.bufferPtr(),
       nbytes);
13    int errno_after_call=errno;
14
15    if (nread > 0)
16        buf_arg.copyOut(tc->getMemProxy());
17
18    return (nread == -1) ? -errno_after_call : nread;
19 }
```



Simulation de quatre processeurs aux caractéristiques diverses

| Nom | Fréquence | Assoc. | L2 | | L3 |
|----------|-------------|--------|--------|--------|-----------|
| | | | Taille | Assoc. | |
| A15 | 1 GHz | 2 | 1 Mo | 16 | Non |
| i5-3550 | 3,3-3,7 GHz | 8 | 256 ko | 8 | 8 Mo / 16 |
| i5-3337U | 1,8 GHz | 8 | 256 ko | 16 | 4 Mo / 8 |
| Q9100 | 2,26 GHz | 8 | 8 Mo | 16 | Non |

Figure – Paramètres utilisés pour chaque CPU. Le reste de la configuration est fixe : 8 Go de RAM, processeur x86 générique gravé en 44nm, et un unique cœur simulé.

Trois codelets sur le banc d'essai

- NAS IS séquentiel : région `__cere__is_ranked_475`, qui vérifie si un tableau est bien trié.
- PARSEC blackscholes : région `__cere__blackscholes_m4__Z9bs_threadPv_first`, une région parallèle OpenMP calculant la valeur d'une option en se basant sur l'équation de Black & Scholes.
- PARSEC freqmine : région `__cere__tree8scan1_DBEP4Data_first`, générant un hash à partir d'un arbre de données.

IS : Une première application simple

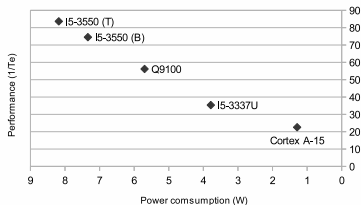


Figure – Graphique du ratio performance-consommation énergétique du codelet *IS*.



Figure – Répartition des instructions au cours de l'exécution du codelet *IS*.

Freqmine : Une application parallèle à peu de données

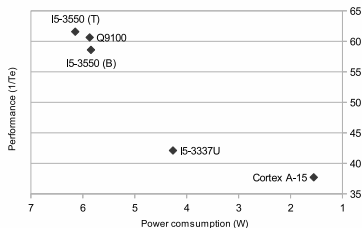


Figure – Graphique du ratio performance-consommation énergétique du codelet *Freqmine*.

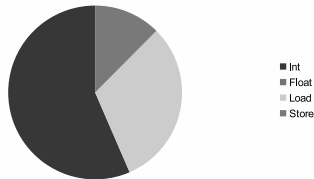


Figure – Répartition des instructions au cours de l'exécution du codelet *Freqmine*.

Blackscholes : Une application utilisant significativement les flottants

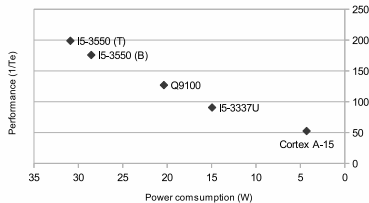


Figure – Graphique du ratio performance-consommation du codelet *Blackscholes*.

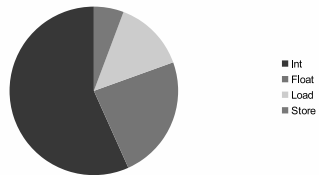


Figure – Répartition des instructions au cours de l'exécution du codelet *Blackscholes*.

Définition du ratio performance-consommation énergétique

Ratio performance-consommation énergétique

Le ratio performance-consommation énergétique I est défini par :

$$I = \frac{1}{P \cdot t_e}$$

Avec P la puissance (en W) du processeur simulé et T_e le temps d'exécution du codelet (en s).

Note : Cela correspond à l'inverse de la consommation totale du processeur.



Graphe récapitulatif

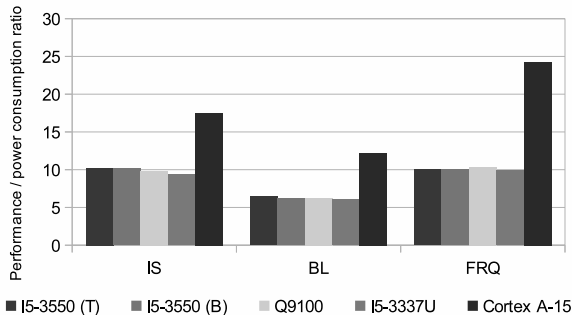


Figure – Ratio performance-consommation énergétique pour chaque codelet.

- Des résultats cohérents
- Des performances plutôt indépendantes du jeu d'instruction
- Influence importante de la taille du cache, parfois plus que la puissance de calcul brute
- Gain de temps induit par l'utilisation de codelets
- Utilisation possible comme étalon d'un ordonnanceur sur une plateforme hétérogène



Bibliographie



Nathan L. Binkert, Bradford M. Beckmann, Gabriel Black, Steven K. Reinhardt, Ali G. Saidi, Arkaprava Basu, Joel Hestness, Derek Hower, Tushar Krishna, Somayeh Sardashti, Rathijit Sen, Korey Sewell, Muhammad Shoaib, Nilay Vaish, Mark D. Hill, and David A. Wood.

The gem5 simulator.

SIGARCH Computer Architecture News, 39(2) :1–7, 2011.



Pablo de Oliveira Castro, Chadi Akel, Eric Petit, Mihail Popov, and William Jalby.

CERE : llvm-based codelet extractor and replayer for piecewise benchmarking and optimization.
TACO, 12(1) :6, 2015.



Sheng Li, Jung Ho Ahn, Richard D. Strong, Jay B. Brockman, Dean M. Tullsen, and Norman P. Jouppi.

Mcpat : an integrated power, area, and timing modeling framework for multicore and manycore architectures.

In David H. Albonesi, Margaret Martonosi, David I. August, and José F. Martínez, editors, *42st Annual IEEE/ACM International Symposium on Microarchitecture (MICRO-42 2009)*, December 12–16, 2009, New York, New York, USA, pages 469–480. ACM, 2009.



Compilation croisée depuis l'architecture x86 vers Aarch64

- Installation du cross-compileur LLVM
- Modification de CERE : compilateur linker et objdump utilisé
- Changement de l'adresse de départ de l'exécutable
- Changement d'adresse de la pile (cf figure)

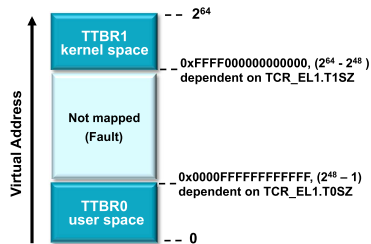


Figure – Mappage de la mémoire virtuelle de l'architecture aarch64